

# پیش‌بینی برخی خواص خشک کردن دانه‌های انگور و بنه به کمک شبکه‌های عصبی مصنوعی

محمد کاوه<sup>۱\*</sup> و رضا امیری چایجان<sup>۲</sup>

۱-دانشگاه آزاد اسلامی، واحد سردهشت، پاگاه پژوهشگران جوان و نخبگان، سردهشت، ایران

۲-دانشیار گروه مهندسی بیو سیستم- دانشکده کشاورزی- دانشگاه بولی سینا- همدان

(تاریخ دریافت: ۹۴/۸/۱۸ تاریخ پذیرش: ۹۵/۶/۱۷)

## چکیده

هدف از این تحقیق برآورد ضریب پخش رطوبت موثر، انرژی مصرفی ویژه، نرخ خشک کردن و نسبت رطوبت در خشک کردن بستر سیال دانه‌های انگور و بنه به کمک شبکه‌های عصبی مصنوعی می‌باشد. سه عامل موثر برای پیش‌بینی ضریب پخش رطوبت موثر و انرژی مصرفی ویژه عبارتند از: نوع محصول، سرعت هوای ورودی، دمای هوای ورودی. برای پیش‌بینی نرخ خشک کردن و نسبت رطوبت از چهار عامل موثر استفاده شد که عبارت بودند از: نوع محصول، سرعت هوای ورودی، دمای هوای ورودی و زمان خشک کردن. تعداد ۲۷ آزمایش برای ضریب پخش رطوبت موثر و انرژی مصرفی ویژه و ۲۱۶۵ آزمایش برای نرخ خشک کردن و نسبت رطوبت برای ایجاد الگوهای آموزش و ارزیابی به وسیله یک خشک کن آزمایشگاهی انجام گرفت. از شبکه‌ها و الگوریتم‌های متعددی برای آموزش الگوهای موجود استفاده شد. نتایج بررسی‌ها نشان داد که شبکه پس انتشار پیشخور با توپولوژی ۳-۵-۵-۲ و تابع آستانه لونبرگ-مارکوارت قادر است ضریب پخش رطوبت موثر و انرژی مصرفی ویژه را با ضریب تعیین ۰/۹۸۰ و ۰/۹۹۵۴ و خطای میانگین مربعات ۰/۰۰۰۹ در شرایط مختلف خشک کردن دانه‌های انگور و بنه در خشک کن بستر سیال را پیش‌بینی نماید. همچنین بیشترین ضریب تعیین برای پیش‌بینی نرخ خشک کردن و نسبت رطوبت به ترتیب ۰/۹۷۹۹ و ۰/۹۹۹۶ به دست آمد.

**کلید واژگان:** خشک کردن، خشک کن بستر سیال، ضریب پخش رطوبت موثر، نرخ خشک کردن و شبکه‌های عصبی مصنوعی

## ۱- مقدمه

از تغییرات نامناسب در کیفیت غذا، عدم کنترل کافی در فرآیند خشک کردن، طولانی بودن زمان خشکشدن و غیربهداشتی بودن محصول. مشکلاتی از این قبیل استفاده از تکنولوژی جدید در فرآیند خشک کردن را ضروری می‌سازد. خشک‌کن‌های صنعتی مزایایی نسبت به روش‌های سنتی دارند که عبارتند از: برداشت به موقع محصول، کاهش تلفات در مزرعه، برنامه ریزی برای برداشت در شرایط نامطلوب آب و هوایی، افزایش مدت انبارداری مواد غذایی و محصولات کشاورزی [۷].

سیال سازی یکی از روش‌هایی است که به طور گسترده در خشک کردن محصولات کشاورزی و مواد غذایی استفاده می‌شود [۸]. روش بسترسیال به عنوان یک فرآیند آرام و یکنواخت خشک شدن شناخته شده که قابلیت کاهش رطوبت مواد را با بازده بالا دارد. مشخصه این فرآیند، استفاده از مواد با میزان رطوبت بالا و کنترل حرارتی مناسب به علت اختلاط مواد است [۹]. سیال سازی پدیده‌ای است که به وسیله آن ذرات جامد در سیال معلق شده و شبیه سیال عمل می‌کنند. هنگامی که یک سیال از میان ذرات یک بستر مواد به سمت بالا هدایت شود، در دبی پایین، یک بستر ثابت خواهیم داشت. با افزایش دبی جریان، به ترتیب بستر منبسط شده، شرایط حداقل سیال سازی، بسترسیال حبابی و انتقال هوایی مواد جامد را خواهیم داشت [۱۰]. پژوهش‌های متعددی در این رابطه برای محصولات مختلف از جمله کلزا [۱۱]، دانه روغنی کاستور [۱۲] و لوبیا سبز [۱۳] انجام گرفته است.

روش متداول برای بررسی شرایط فرآوری پارامترهای کیفی محصولات کشاورزی، روش آماری است. مدل‌های آماری یا معادلات رگرسیونی تابعی از فرضیات و ملاحظات ذاتی آزمایش‌ها در تحلیل است. در این روش، واقعیت پدیده به کمک یک معادله جبری بیان می‌شود که فرضیات اصلی مساله در آن لحاظ شده است. از آنجا که برای پیش‌بینی شاخص‌های کیفی محصولات کشاورزی چندین متغیر ورودی و خروجی موثرند، تحلیل آماری این نوع مسائل مستلزم تعدادی روابط ریاضی است که اغلب برای استفاده و تفسیر مشکل است [۱۴].

شبکه‌های عصبی مصنوعی از عناصر عملیاتی ساده‌ای ساخته شده‌اند که به صورت موازی کنار هم عمل می‌کنند. این عناصر از سیستم‌های عصبی زیستی الهام گرفته شده‌اند. در طبیعت،

انار (*Punica granatum* L.) یکی از مهمترین میوه‌های مناطق نیمه گرمسیری که به خاطر ارزش غذایی و درمانی و به علت کیفیت نگهداری آن کشت می‌شود [۱]. انار در ایران در انواع ارقام هم به صورت اهلی و هم به صورت وحشی می‌روید. از انواع مهم انار، آلک، ملس و سیاه می‌باشد. رقم آلک به صورت میوه تازه مصرف می‌شود. رقم سیاه در داروسازی و رقم ملس به عنوان نوشیدنی مورد استفاده قرار می‌گیرد [۲].

انگور یکی از محصولات باغبانی در ایران، که در طول یک دوره طولانی خشک کردن برای اینمنی و ذخیره سازی و همچنین به عنوان بهترین منبع کربوهیدرات، ترکیبات آلی و مواد معده‌نی شناخته شده است. انگور خشک شده دارای صادرات بالای ارز کشور می‌باشد. در ایران، به طور سنتی برداشت می‌شود و برای برداشتن لایه موئی شکل آن از نفت و پتاسیم کربنات استفاده می‌شود [۳].

میوه درخت بنه (*Pistacia Atlantica* L.) ریز، مدور و به رنگ سبز تیره است. مغز میوه بنه به پسته شبیه ولی بسیار کوچکتر از آن است. کاربردهای میوه بنه برای خوشبوکردن دوغ و روغن حیوانی و همچنین در درست کردن ترشی استفاده می‌شود. میوه بنه دارای کاربردهای پزشکی از جمله: کاهش چربی‌های خون، نشاط‌آور و تقویت‌کننده کبد و طحال می‌باشد. روغن و عصاره این میوه برای سلامتی و بیماری‌های قلبی و عروقی مفید است [۴].

خشک کردن، حذف حداکثر آب از محصول با هدف افزایش مدت نگهداری است و از قدیمی ترین روش‌های حفظ مواد غذایی و محصولات کشاورزی می‌باشد. سالانه میلیون‌ها تن فرآورده‌های زراعی، باقی، دامی و شیلاتی توسط روش‌های مختلف، خشک می‌شوند که ضمن ایجاد تنوع در محصول و افزایش زمان ماندگاری، باعث کاهش قابل توجهی در هزینه‌های حمل و نقل و انبارداری می‌شود [۵]. در طی فرآیند خشک‌کردن، آب از ماده غذایی خارج شده و در نتیجه امکان رشد میکروارگانیسم‌ها و ایجاد واکنش‌های شیمیایی نامطلوب به حداقل رسیده و مدت زمان نگهداری مواد غذایی افزایش می‌یابد [۶].

در گذشته، از انرژی خورشید برای خشک کردن انواع محصولات کشاورزی و مواد غذایی استفاده می‌شد اما مشکلات زیادی در استفاده از این روش وجود دارد که عبارتند

در رشته مهندسی صنایع غذایی شبکه‌های عصبی مصنوعی جایگزین خوبی برای مدل‌سازی تجربی و رگرسیونی می‌باشد. استفاده از شبکه‌های عصبی مصنوعی توسط محققین زیادی برای استفاده در پیش‌بینی محصولات کشاورزی به کار برده شده است از جمله متولی و همکاران [۱۹] برای پیش‌بینی نرخ خشک‌کردن و نسبت رطوبت شوید با استفاده از خشک‌کن بستر سیال، سینگ و پاندی [۲۰] برای پیش‌بینی نرخ خشک‌کردن، نسبت رطوبت و محتوای رطوبتی خشک‌کردن سیب‌زمینی و منلیک و همکاران [۲۱] برای پیش‌بینی نرخ خشک‌کردن، نسبت رطوبت و محتوای رطوبتی خشک‌کردن سیب از شبکه‌های عصبی مصنوعی استفاده کردند.

با توجه به ضرورت‌های بیان شده هدف از این تحقیق عبارت است از: تعیین و پیش‌بینی ضریب پخش رطوبت موثر، انرژی مصرفی ویژه، نرخ خشک‌کردن و نسبت رطوبت انار، انگور و بنه (پسته و حشی) پس از خشک‌کردن با خشک‌کن بستر سیال با استفاده از شبکه‌های عصبی مصنوعی می‌باشد.

## ۲- مواد و روشها

### ۲-۱- طرح خشک‌کن بستر سیال

برای انجام آزمایش‌ها از یک خشک‌کن آزمایشگاهی بستر سیال ساخته شده استفاده شد (شکل ۱). اجزای اصلی خشک‌کن عبارتند از: المنت‌های گرم‌کننده هوا (۵ المنت ۳۰۰ واتی)، محفظه خشک‌کن (محل قرارگیری نمونه‌ها)، سیستم کترول (سرعت دمنده و دمای هوای ورودی به محفظه خشک‌کن)، دمنده گریز از مرکز برای تامین جریان هوا و ترازو. دمنده گریز از مرکز دارای قابلیت تغییر میزان هوای ورودی به محفظه خشک‌کن است. تنظیم سرعت هوای ورودی با تغییر سرعت دمنده و به صورت دستی توسط یک اینورتر که به الکتروموتور متصل است انجام می‌شود. موتور مورد استفاده از نوع سه فاز ۲۵۰ W و قدرت ۲۸۰۰ rpm می‌باشد که دارای تعداد دور ۱۷۰۰ [۱۷]. می‌باشد: توری فلزی حاوی نمونه‌ها، بدنه پلکسی گلاس و درپوش محفظه. توری حاوی نمونه‌ها، از جنس فلزی می‌باشد و توسط یک قاب تفلونی درون محفظه قرار می‌گیرد. دمای هوای خشک‌کن در محل قرارگیری نمونه‌ها بطور مستقیم با ترموموپل اندازه‌گیری می‌شود که در زیر محفظه قرار گرفته

عملکرد شبکه‌های عصبی از طریق نحوه اتصال بین اجزا تعیین می‌شود. بنابراین می‌توان یک ساختار مصنوعی به تبعیت از شبکه‌های طبیعی ساخت و با تنظیم مقادیر هر اتصال، تحت عنوان وزن اتصال، نحوه ارتباط بین اجزای آن را تعیین کرد. شبکه‌های عصبی نوعی مدل‌سازی ساده از سیستم‌های عصبی واقعی هستند که کاربرد فراوانی در حل مسائل مختلف در علوم دارند. حوزه کاربرد این شبکه‌ها آنچنان گسترده است که از کاربردهای طبقه بندی گرفته تا کاربردهایی نظری درون-بابی، تخمین و آشکارسازی را شامل می‌شوند. شاید مهم‌ترین مزیت این شبکه‌ها توانایی وافر در کنار سهولت استفاده از آن‌ها باشد [۱۵].

امروزه با توسعه سریع فناوری‌های پردازش رایانه‌ای و ایجاد نرم افزارهای مربوطه، از مزایای هوش مصنوعی مانند شبکه عصبی مصنوعی برای حل مسائل مربوط به مدل‌سازی سیستم‌ها و فرایندها استفاده می‌شود [۱۶]. شبکه‌های عصبی مصنوعی شامل یک الگوی پردازش اطلاعات و ابزاری قدرتمند به منظور شبیه‌سازی، الهام‌گرفته از نورون‌های بیولوژیک است. با این رویکرد، شبکه‌های عصبی مصنوعی همانند ساختار بیولوژیکی مغز انسان با ترکیب ویژگی‌هایی همچون قدرت یادگیری، تعمیم‌دهی، پردازش موازی و تصمیم‌گیری، قابلیت حل کامل مسائلی پیچیده با ماهیتی خطی یا غیرخطی را خواهد داشت. شبکه عصبی مصنوعی، یکی از روش‌های محاسباتی است که به کمک فرایند یادگیری و با استفاده از پردازشگرهایی ساده به نام نورون تلاش می‌کند با شناخت روابط موجود میان داده‌ها، نگاشتی میان فضای ورودی (لایه ورودی) و فضای مطلوب (لایه خروجی) ارائه دهد. لایه یا لایه‌های مخفی، اطلاعات دریافت شده از لایه ورودی را پردازش می‌کند و در اختیار لایه خروجی قرار می‌دهد. هر شبکه با دریافت نمونه‌هایی آموزش می‌بیند [۱۷]. یک شبکه آموزش دیده می‌تواند به عنوان مدلی برای کاربردهای خاص به کار رود. پیش‌بینی با یک شبکه عصبی آموزش دیده به طور معمول سریعتر از عملکرد برنامه‌های مدل‌سازی متداول است. بعلاوه امکان کاهش یا افزایش متغیرهای ورودی و خروجی در صورت نیاز وجود دارد. تفاوت دیگر شبکه عصبی مصنوعی با روش‌های متداول مدل‌سازی این است که شبکه عصبی را می‌توان برای پیش‌بینی بیش از دو متغیر در خروجی شبکه استفاده کرد [۱۸].

که در آن  $MR$  نسبت رطوبت،  $M_a$  نسبت رطوبت در زمان  $t$  و  $M_e$  به ترتیب رطوبت اولیه و رطوبت تعادلی (d.b.) می باشد.

در طول فرآیند خشک کردن با استفاده از خشک کن بستر سیال مقدار  $M_e$  نسبت به  $M_a$  و  $M_b$  خیلی ناچیز است پس معادله ۲ به صورت زیر نوشته می شود.

$$MR = \frac{M_a}{M_b}$$

## ۲-۲- نرخ خشک کردن

نرخ تبخیر رطوبت عبارت است از مقدار رطوبت خارج شده از واحد سطح ماده خشک شده در واحد زمان که نشان دهنده سرعت تبخیر رطوبت از محصول می باشد. نرخ تبخیر رطوبت با استفاده از رابطه (۳) محاسبه شد [۲۲].

$$DR = \frac{M_{t+dt} - M_t}{dt}$$

که در آن  $DR$  نرخ خشک کردن ( $\text{kg water}/\text{kg dry matter s}$ )  $M_{t+dt}$  میزان رطوبت در زمان  $t+dt$  و  $M_t$  مقدار رطوبت در  $t$  ( $\text{kg water}/\text{kg dry matter}$ ) و  $dt$  تغییرات زمانی (min) می باشد.

## ۳-۲- ضریب پخش رطوبت موثر

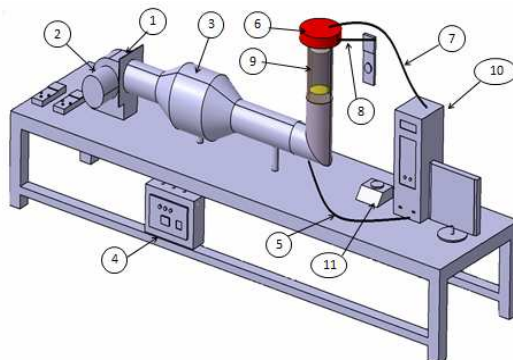
قانون دوم فیز برای محصولات کروی شکل برای محاسبه ضریب پخش رطوبت موثر انار، انگور و بنه مورد استفاده قرار گرفت. ضریب پخش رطوبت موثر با استفاده از رابطه زیر محاسبه شد [۲۳].

$$MR = \frac{M_a - M_e}{M_b - M_e} = \frac{6}{\pi^2} \sum_{n=1}^{\infty} \frac{1}{n^2} \exp\left(-\frac{D_{eff} n^2 \pi^2 t}{r^2}\right)$$

که در آن که در آن  $n$  تعداد جملات معادله (۱،۲،۳)...،  $t$  زمان خشک شدن (s)،  $r$  شعاع هندسی بنه، انار و انگور (m)،  $MR$  نسبت رطوبت،  $M_a$  رطوبت در یک زمان (d.b.)،  $M_e$  مقدار رطوبت اولیه (d.b.)،  $D_{eff}$  ضریب پخش رطوبت موثر ( $\text{m}^2/\text{s}$ ) است. وقتی  $t$  افزایش می یابد، تمام جملات به غیر از جمله اول، صفر می شوند در نتیجه خواهیم داشت:

$$\ln(MR) = \ln\left(\frac{M_a - M_e}{M_b - M_e}\right) = \ln\left(\frac{6}{\pi^2}\right) - \left(\frac{D_{eff} \pi^2 t}{r^2}\right)$$

است. همچنین برای جلوگیری از تلفات حرارتی، دور کanal متنه به محفظه با پشم شیشه عایق بندی شد.



شکل ۱ نمای شماتیک خشک کن بستر سیال: (۱) پنکه و الکترو موتور، (۲) اینورتر، (۳) گرم کننده حرارتی (هیتر)، (۴) ترمومتر، (۵) ثبت کننده درجه حرارت ورودی، (۶) درب اتاق خشک کن، (۷) سنسور سرعت هوا، (۸) ثبت کننده درجه حرارت خروجی، (۹) اتاق ک خشک کن، (۱۰) کامپیوتر، (۱۱) ترازوی دقیق.

انار، انگور و بنه تازه از مزارع و باغات تهیه شد. برای جلوگیری از کاهش رطوبت محصولات، داخل پلاستیک به صورت جداگانه قرار داده شدند. نمونه ها در یخچال برای انجام آزمایشها در دمای  $3 \pm 1^\circ\text{C}$  نگهداری شد. برای تعیین رطوبت محصولات از نمونه های ۲۰ گرمی استفاده شد که مدت ۲۴ ساعت در دمای  $70^\circ\text{C}$  با استفاده از آون مقدار رطوبت اولیه محصولات به دست آمد. رطوبت اولیه برای انار، انگور و بنه، به ترتیب ۲/۷۴، ۲/۰۵ و ۲/۶ بر پایه خشک به دست آمدند.

برای اندازه گیری دمای محیط و محفظه خشک کن و نیز رطوبت نسبی هوا، از دستگاه رطوبت سنج- دما سنج لوترون (Lutron, YK-2005RH, Taiwan) استفاده شد. آزمایش ها برای هر سه محصول در سه سطح دمایی (۵۰، ۶۰ و  $70^\circ\text{C}$ ) و سرعت هوا در خشک کردن انار، ۱/۵، ۱/۵ و ۴/۳۱ متر بر ثانیه، در خشک کردن انگور مقادیر ۱/۸، ۳/۱۲ و ۵/۶ متر بر ثانیه و در خشک کردن بنه، ۰/۸۱، ۰/۰۸ و ۳/۳۵ متر بر ثانیه در نظر گرفته شدند.

نسبت رطوبت محصولات مورد آزمایش با استفاده از رابطه زیر

به دست می آید [۲۲]:

$$MR = \frac{M_a - M_e}{M_b - M_e}$$

## ۵-۲- طراحی روند آموزش برای شبکه‌های

### عصبی مصنوعی

شبکه‌های عصبی مصنوعی به عنوان یکی از شاخه‌های هوش مصنوعی به دلیل دارا بودن ساختار پردازش موازی دارای سرعت پردازش بسیار بالایی می‌باشند [۲۵]. ساختار عمومی شبکه‌های عصبی چند لایه در شکل‌های ۲ و ۳ نشان داده شده است. که برای پیش‌بینی ضریب پخش رطوبت موثر و انرژی مصرفی ویژه، لایه اول سه نرون دارد که برابر با تعداد ورودی‌هاست. ورودی‌ها شامل نوع محصول، دمای هوای ورودی و سرعت هوای ورودی می‌باشد. با نماد (1,1)، N (1,2) و N (1,3) نشان داده شده است. لایه دوم m نرون دارد که لایه N (2,m) ... N (2,2)، N (2,1) ... N (3,p) نشان داده شده است. لایه سوم p نرون دارد و شامل نرون‌های N (3,1) ... N (3,2)، N (3,1) ... N (3,2) است. برای پیش‌بینی نسبت رطوبت و نرخ خشک‌کردن، لایه اول چهار نرون دارد که برابر با تعداد ورودی‌هاست. این ورودی‌ها عبارتند از: نوع محصول، دمای هوای ورودی، سرعت هوای ورودی و زمان خشک‌کردن. همچنین لایه خروجی آن شامل دو نرون (نسبت رطوبت و نرخ خشک‌کردن) می‌باشد.

سپس:

$$MR = \left( \frac{6}{\pi^2} \right) \exp \left( -\frac{\pi^2 D_{eff} t}{r^2} \right)$$

با رسم  $\ln(MR)$  نسبت به زمان و مساوی قرار دادن این شیب با ضریب  $t$  در رابطه ۴، ضریب نفوذ را می‌توان به دست آورد.

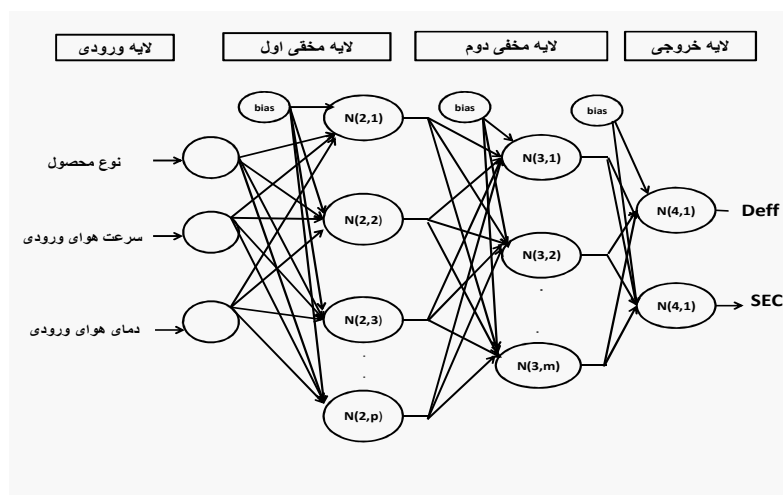
$$K_1 = \left( \frac{D_{eff} \pi^2}{r^2} \right)$$

### ۴-۲- انرژی مصرفی ویژه

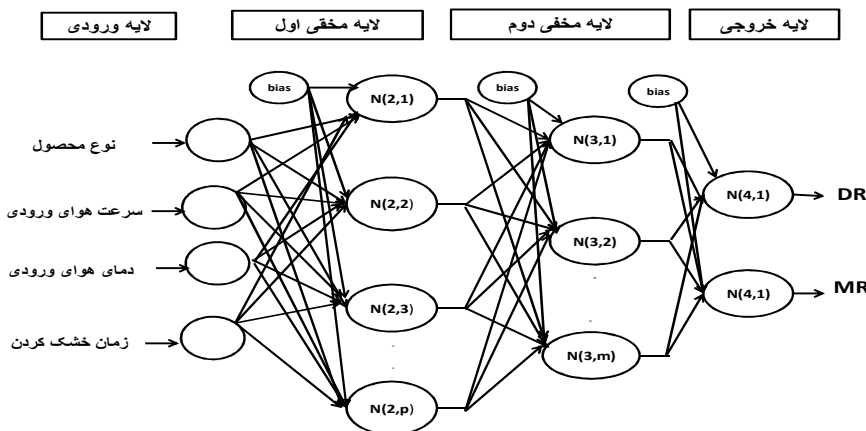
انرژی مصرفی ویژه محصولات خشک‌شده این پژوهش با استفاده از معادله زیر به دست می‌آید [۲۴]:

$$SEC = Qt \frac{(T_{in} - T_{am})}{60m_v V_h} (C_{pa} + C_{pv} h_a)$$

که در آن  $SEC$  انرژی مصرفی ویژه (J/kg) و  $C_{pa}$ ،  $C_{pv}$  (J/kg°C) به ترتیب ظرفیت گرمایی بخار و هوا ( $1004/16$  J/kg°C)،  $Q$  هوا و ورودی به اتاق خشک کن ( $m^3/min$ )،  $t$  زمان کل خشک کردن (دقیقه)،  $h_a$  نسبت رطوبت هوا ( $kg_{vapor}/kg_{dry air}$ )،  $T_{in}$  و  $T_{am}$  به ترتیب دمای ورودی به خشک کن و دمای محیط (K)،  $m_v$  مقدار انتقال جرم (kg) و  $V_h$  حجم ویژه هوا ( $m^3/kg$ ) می‌باشد.



شکل ۲ توپولوژی شبکه عصبی مصنوعی مورد استفاده با خروجی‌های ضریب پخش رطوبت موثر و انرژی مصرفی ویژه



شکل ۳ تپیلوژی شبکه عصبی مصنوعی مورد استفاده با خروجی‌های نرخ خشک‌کردن و نسبت رطوبت

انجام نمی‌شود. لایه آخر لایه خروجی شبکه بوده و کاربری سیستم کنترل می‌تواند اطلاعات پردازش شده را دریافت کند [۲۴].

#### ۲-۵-۲- شبکه‌های پسانشار پیشرو (CFBP)

این شبکه‌ها نیز مانند شبکه پسانشار پیشخور از الگوریتم پسانشار خطأ برای بهنگام‌سازی وزن‌ها استفاده می‌کنند. ولی خصوصیات اصلی شبکه مذکور این است که نورون‌های هر لایه به همه نورون‌های قبل متصل است. توابع آستانه و الگوریتم‌های به کار گرفته شده برای شبکه پسانشار پیشرو مشابه شبکه پسانشار پیشخور است. نکته قابل توجه این است که به دلیل افزایش پیوندهای بین نورونی، شبکه به کار رفته پیچیده‌تر می‌شود. زیرا حجم محاسبات آن افزایش می‌یابد [۲۵].

الگوریتم‌های آموزش به کار رفته برای بهنگام‌سازی وزنهای شبکه‌های مورد استفاده عبارتند از:

#### ۲-۵-۲- الگوریتم لونبرگ- مارکوارت (LM)

الگوریتم مبتنی بر ماتریس هسین، به شبکه اجازه می‌دهند تا با دقت بیشتری الگوها را فرا بگیرد. الگوریتم LM برای آموزش شبکه‌های عصبی مصنوعی از طریق توزیع محاسبات و فضای مورد نیاز، موازی عمل می‌کند و از اینرو سریع‌ترین روش برای آموزش شبکه‌های عصبی پسانشار با ابعاد متوسط (حداکثر چند صد اتصال وزنی و بایاس) است. الگوریتم LM اساساً برای بهینه‌سازی غیرخطی بر مبنای حداقل مربعات استفاده می‌شود [۲۶].

به منظور بررسی و ارزیابی شبکه‌های مختلف، پایگاه داده ای به دو دسته تقسیم شد: آموزش و ارزیابی. برای یافتن بهترین پیش‌بینی، شبکه‌های مختلفی بر داده‌های مذکور اعمال شدند. همچنین به منظور بررسی عملکرد تعمیم شبکه‌های به کار رفته، از الگوهای ارزیابی استفاده شد. از نرم افزار Neural Network Toolbox MATLAB (ver4.01) طراحی و ارزیابی شبکه‌های عصبی مصنوعی مختلف استفاده شد. در طی فرآیند آموزش، شبکه‌های عصبی مصنوعی به کمک داده‌های آموزشی، ارتباط بین نورون‌ها را در هر چرخه آموزش فرا می‌گیرند تا این مقادیر پیش‌بینی شده به مقادیر خروجی مطلوب نزدیک شوند و مقادیر خطای حاصل از مقادیر خطای مشخص شده کمتر گردد. پارامترهای ترکیبی مانند تعداد لایه‌های پنهان، تعداد نورون‌ها، تعداد چرخه آموزش، در طی فرآیند آموزش شبکه و به روشن آزمون و خطای تعیین می‌شوند.

به منظور پردازش داده‌های گوناگون برای کاربردهای مختلف از دو شبکه‌های مختلف استفاده شد که عبارتند از:

#### ۲-۵-۱- شبکه‌ی پسانشار پیشخور (FFBP)

ساختار ایستایی (غیره وایسته به زمان) این شبکه در مسائل مهندسی و محاسبات علمی کاربرد دارد. نورون‌ها که عناصر پردازشگر سیگنال هستند از طریق اتصالات سیناپسی بین لایه‌ای پیش‌خور به هم متصل می‌شوند. ارتباط ورودی- خروجی ممکن است به وسیله توابع نگاشت (توابع آستانه) غیرخطی انجام شود. الگوریتم پسانشار خطأ روش اصلی برای بهنگام‌سازی وزن‌های شبکه FFBP برای انجام محاسبات است. لایه اول، لایه ورود اطلاعات است. هیچ‌گونه پردازشی در این لایه

انحراف معیار خطای میانگین مطلق از رابطه زیر محاسبه می شود:

$$STD_{MAE} = \sqrt{\frac{\sum_{i=1}^S |S_i - T_i| - |S_i - T_i|}{S-1}}$$

ضریب تعیین (همبستگی): مربع ضریب همبستگی، نشان دهنده میزان همبستگی بین نتایج پیش‌بینی شده توسط شبکه و داده‌ها می‌باشد. رابطه این پارامتر در معادله (۱۳) ارائه شده است.

$$R^2 = 1 - \frac{\sum_{i=1}^M |S_i - T_i|}{\sum_{i=1}^M |S_i - T_m|}, \quad T_m = \frac{\sum_{i=1}^M S_i}{M}$$

در این روابط  $S_i$  مقدار پیش‌بینی شده به وسیله شبکه عصبی مصنوعی برای الگوی  $i$ ،  $T_i$  مقدار آزمایشی برای الگوی  $i$ ،  $T_m$  میانگین مقادیر پیش‌بینی شده،  $S_{ip}$  خروجی شبکه در نرون  $i$  و الگوی  $p$ ،  $T_{ip}$  خروجی هدف در نرون  $i$  و الگوی  $p$ ،  $n_p$  تعداد الگوهای  $p$  نرون‌های لایه خروجی،  $N$  تعداد نرون‌های خروجی و  $n$  تعداد الگوهای آموزش است. برای پیش‌بینی ضریب پخش رطوبت موثر و انرژی مصروفی تعداد کل داده ۲۷ داده و برای پیش‌بینی نسبت رطوبت و ترخ خشک کردن ۲۵۷۴ داده استفاده شد که حدود ۲۵ درصد داده‌ها به طور تصادفی برای ارزیابی شبکه آموزش دیده مورد استفاده قرار گرفت.

شبکه‌های عصبی مصنوعی از چندین لایه تشکیل می‌شوند. لایه‌های ابتدایی و انتهایی به ترتیب لایه ورودی و لایه خروجی نام دارند. همچنین ما بین این دو لایه ممکن است یک یا چند لایه مخفی وجود داشته باشند. خروجی شبکه  $X_j$  به صورت زیر مدل می‌شود:

$$X_j = \sum_{i=1}^N W_{ij} \times Y_i + b_j$$

برای شبکه‌های پس انتشار،  $N$  تعداد نرون‌های لایه خروجی،  $W_{ij}$  وزن بین لایه  $i$  و  $j$ ،  $Y_i$  خروجی نرون  $i$  و  $b_j$  مقدار بایاس نرون لایه  $j$  است. طی فرآیند آموزش این وزن‌ها و مقادیر ثابتی که با آنها جمع می‌شود و اصطلاحاً بایاس نامیده می‌شوند، به طور پی در پی تغییر می‌کند تا خطاطا به کمترین مقدار خود برسد. پس از محاسبه هر  $X_j$  شبکه تحت یک

#### ۴-۵-۲-الگوریتم تنظیم بیزی (BR)

فرآیند آموزش شبکه پس انتشار با الگوریتم تنظیم بیزی، با توزیع تصادفی وزن‌های اولیه آغاز می‌شود. توزیع تصادفی این پارامترها جهت‌گیری اولیه را قبل از ارائه داده‌ها به شبکه تعیین می‌کند. بعد از ارائه داده‌ها به شبکه بهنگام‌سازی، وزن‌های اولیه آغاز می‌شود تا توزیع ثانویه با استفاده از تنظیم بیزی حاصل شود. از آنجایی که داده‌های به کار رفته ممکن است با خطاهای زیادی همراه باشند، روش‌های موثری برای بهبود عملکرد تعیین، ضروری خواهد بود. از این‌رو، روش تنظیم بیزی که شامل تنظیم پیچیدگی شبکه و اصلاح تابع عملکرد است، مناسب است. در این الگوریتم به جای مجموع مربعات خطای (SSE) از مجموعه آموزشی، یک تابع هدف که شامل (SSE) و یک تابع جریمه است به طور خودکار تنظیم می‌شود [۲۶].

یک شبکه پرسپترون چند لایه برای تعیین ساختار مطلوب مورد آزمایش قرار گرفت. تعداد نرون‌های لایه میانی از یک تا ۱۰ تغییر داده شدند. در نرم‌افزار شبکه عصبی Matlab7 به نام Neural network toolbox (نسخه ۴/۰۱) حدود ۲۵ درصد کل الگوهای به طور تصادفی برای ارزیابی شبکه‌های آموزش دیده و بقیه داده‌ها به منظور آموزش انتخاب شدند. شاخص‌های کمی بسیاری جهت ارزیابی کارکرد شبکه‌های عصبی مصنوعی مورد استفاده قرار می‌گیرند. معیارهای زیر برای تعیین کیفیت عملکرد شبکه در این پژوهش مورد استفاده قرار گرفتند. شاخص میانگین مربعات خطای (SSE) دقت مدل را بر اساس تفاضل بین مقادیر واقعی و مقادیر پیش‌بینی شده، مورد ارزیابی قرار می‌دهد. با توجه به نتایج هر چه قدر این شاخص به صفر نزدیک‌تر باشد، بیانگر اختلاف کمتری بین آنها خواهد بود. شکل ریاضی مجازور میانگین مربعات خطای به صورت زیر می‌باشد [۲۴]:

$$MSE = \sqrt{\frac{\sum_{p=1}^M \sum_{i=1}^N (S_{ip} - T_{ip})^2}{n_p \times n_o}}$$

خطای میانگین مطلق: این شاخص به عنوان میانگین تفاوت بین مقادیر واقعی و مقدار پیش‌بینی شده می‌باشد و بر اساس فرمول زیر محاسبه می‌شود:

$$MAE = \frac{1}{M} \sum_{p=1}^M |S_p - T_p|$$

که در آن  $X_n$  مقدار نرمال شده پارامتر،  $X_i$ : مقدار واقعی هر پارامتر،  $X_{\max}$ : بیشینه مقدار پارامتر مورد نظر و  $X_{\min}$ : کمینه مقدار پارامتر مورد نظر است.

تابع فعالسازی شروع به اصلاح آن می کند. انواع توابع فعالسازی عبارتند از [۲۴]:

تابع فعالسازی سیگموئید

$$Y_j = \frac{1}{1 + \exp(-X_j)}$$

تابع فعالسازی خطی

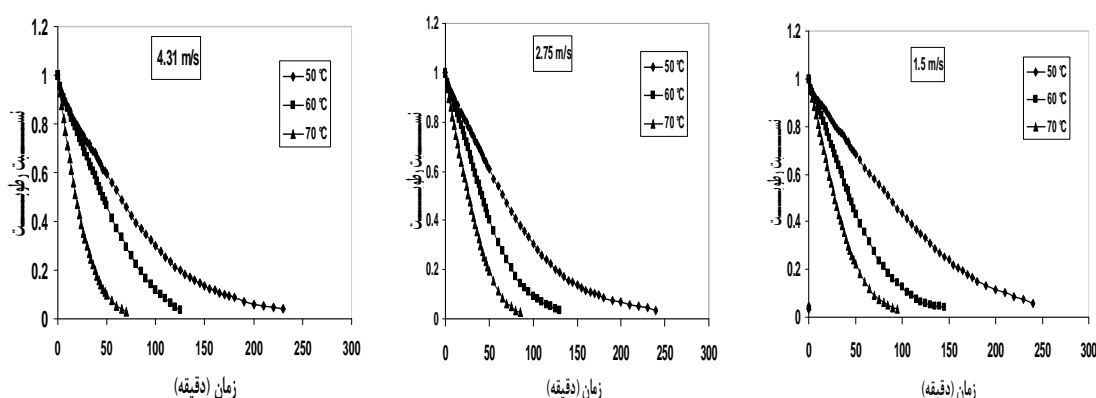
$$Y_j = X_i$$

تابع فعالسازی تانژانت هایپربولیک

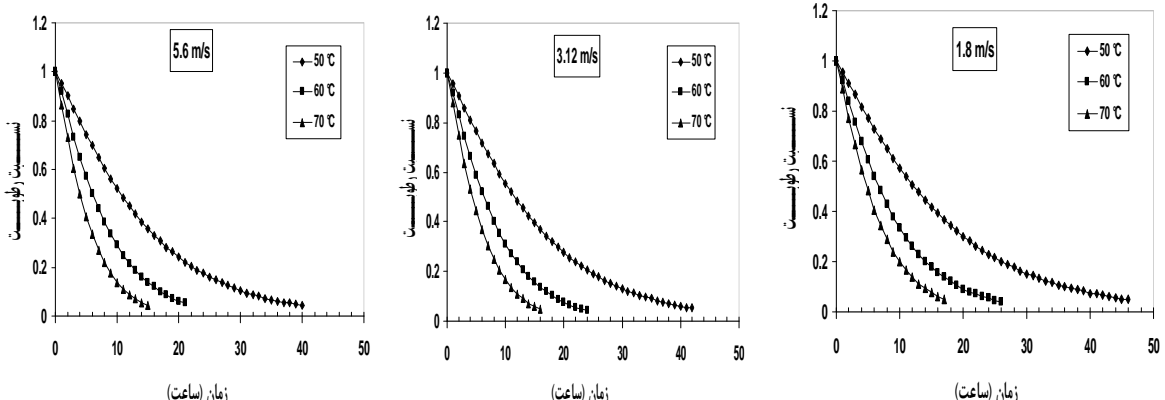
$$Y_j = \frac{2}{(1 + \exp(-2X_j)) - 1}$$

اصولاً عدم پیش پردازش داده ها باعث کاهش سرعت و دقیق شبکه می شود. برای دوری از چنین شرایطی و همچنین به منظور یکسان سازی ارزش داده ها برای شبکه، عمل نرمال سازی انجام می شود که این کار مانع از کوچک شدن بیش از حد وزن ها می گردد. برای نرمال سازی داده های مورد استفاده از رابطه (۱۷) استفاده شد.

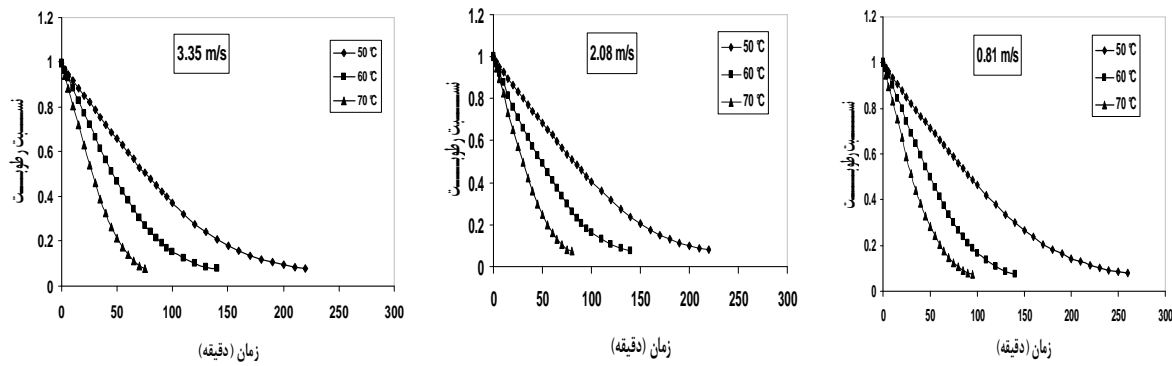
$$X_n = \frac{X_i - X_{\min}}{X_{\max} - X_{\min}}$$



شکل ۴ منحنی نسبت رطوبت - زمان انار برای شرایط مختلف خشک کردن در دما ها و سرعت های مختلف



شکل ۵ منحنی نسبت رطوبت - زمان انگور برای شرایط مختلف خشک کردن در دما ها و سرعت های مختلف

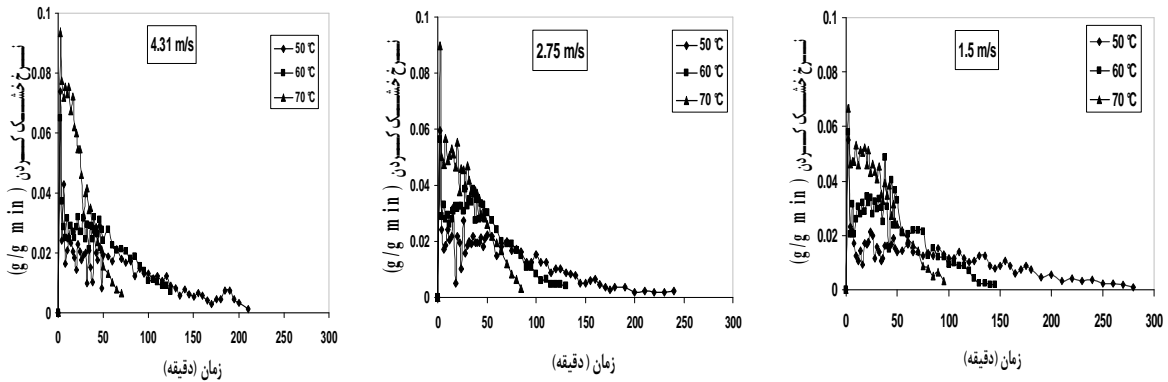


شکل ۶ منحنی نسبت رطوبت - زمان پنه برای شرایط مختلف خشک کردن در دمایا و سرعت های مختلف

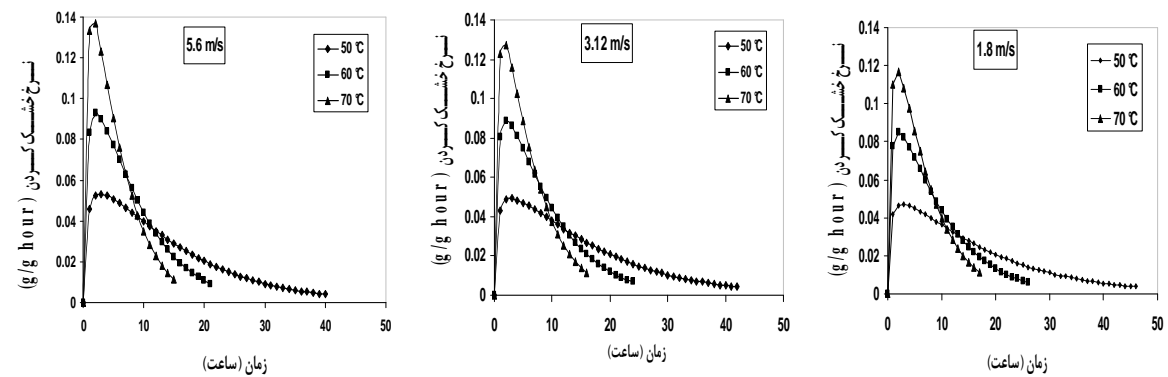
طور طبیعی کاهش پیدا کرده و نرخ رطوبت به طور طبیعی کاهش می یابد. محصول، عمدۀ رطوبت خود را در لحظات اولیه فرآیند خشک کردن از دست می دهد و زمان زیادی برای از دست دادن رطوبت باقیمانده لازم است (شکل های ۷ تا ۹).

### ۲-۳- نرخ خشک کردن

در شروع فرآیند خشک کردن برای هر سه محصول، رطوبت اولیه محصول زیاد بوده و نرخ از دست دادن رطوبت زیاد است، بتدریج با پیشرفت زمان، محتوی رطوبت محصول به



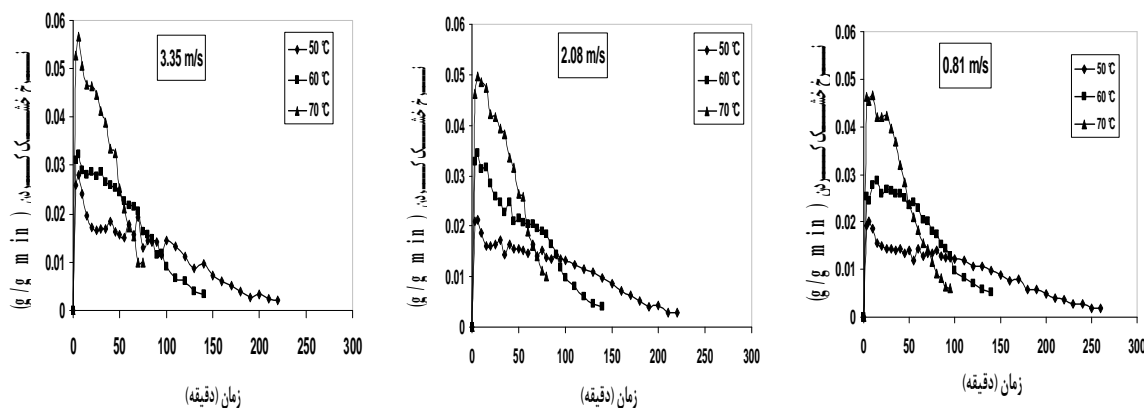
شکل ۷ نمودار نرخ خشک کردن انار در مقابل زمان برای دمایا، سرعت ها مختلف



شکل ۸ نمودار نرخ خشک کردن انگور در مقابل زمان برای دمایا، سرعت ها مختلف

بنابراین در این روش خشک کردن با کاهش محتوای رطوبت محصول در طی فرآیند خشک شدن، نرخ از دست دادن رطوبت کاهش می یابد. در شکل های (۷ تا ۹) مشاهده می شود که آهنگ تبخیر در لحظات اولیه با گذشت زمان به سرعت افزایش می یابد و به نقطه اوجی که بیشترین مقدار آهنگ تبخیر است می رسد.

همچنین در زمان های اولیه خشک شدن، به علت افزایش دمای ماده و وجود آب کافی در حوالی سطح ماده، نرخ خشک شدن افزایشی است، تا اینکه آب در حوالی سطح ماده کاهش می یابد و نفوذ آب از درون ماده به سطح شروع می شود که از این لحظه به بعد نفوذ رطوبت، کنترل کننده نرخ خشک شدن می گردد، لذا نرخ خشک شدن کاهشی می گردد (شکل های ۷ تا



شکل ۹ نمودار نرخ خشک کردن بهن در مقابل زمان برای دماها، سرعت‌ها مختلف

هر سه محصول در این محدوده می‌باشد [۳۵]. کمترین مقادیر ضریب پخش رطوبت موثر در سرعت‌های مختلف هوا در پایین‌ترین دما بدست آمد و بیشترین ضریب پخش رطوبت موثر مربوط به بالاترین دما می‌باشد. دلیل وقوع این تاثیر بازد دما و سرعت هوا در ایجاد جنبش مولکولی و مکش سطحی بیشتر و افزایش ضریب مذکور می‌باشد. نتایج مشابه بدست آمده در سایر پژوهش‌های انجام شده در مورد دیگر محصولات کشاورزی هم مشاهده شد. مثلاً برای دانه‌های رونقی کرچک در محدوده دمایی ۸۰ تا  $110^{\circ}\text{C}$  سلسیوس ضریب پخش رطوبت موثر بین  $8/21 \times 10^{-9}$  تا  $2/61 \times 10^{-9}$  متر مربع بر ثانیه بدست آمد [۱۲]. برای ذرت در محدوده دمایی ۶۰ تا  $120^{\circ}\text{C}$  درجه سلسیوس ضریب پخش رطوبت موثر بین  $2/41 \times 10^{-10}$  تا  $14/03 \times 10^{-10}$  متر مربع بر ثانیه بدست آمد [۲۳]. همچنین برای باقلاء در محدوده دمایی ۳۵ تا  $65^{\circ}\text{C}$  درجه سلسیوس، ضریب پخش رطوبت موثر بین  $1/27 \times 10^{-9}$  تا  $6/48 \times 10^{-9}$  متر مربع بر ثانیه بدست آمد [۹].

جدول ۱ تاثیر درجه حرارت و سرعت هوا بر ضریب پخش رطوبت موثر در خشک کردن لایه نازک انار، انگور و بنه

نوع محصول	سرعت هوا و رودی (m/s)	$70^{\circ}\text{C}$	$60^{\circ}\text{C}$	$50^{\circ}\text{C}$
انار	۱/۵	$7/10 \times 10^{-10}$	$4/23 \times 10^{-10}$	$2/27 \times 10^{-10}$
	۲/۷۵	$7/60 \times 10^{-10}$	$4/41 \times 10^{-10}$	$2/52 \times 10^{-10}$
	۴/۳۱	$7/62 \times 10^{-10}$	$4/66 \times 10^{-10}$	$2/55 \times 10^{-10}$
انگور	۱/۸	$2/19 \times 10^{-10}$	$1/56 \times 10^{-10}$	$8/30 \times 10^{-11}$
	۳/۱۲	$2/40 \times 10^{-10}$	$1/67 \times 10^{-10}$	$8/89 \times 10^{-11}$
	۵/۶	$2/62 \times 10^{-10}$	$1/75 \times 10^{-10}$	$9/89 \times 10^{-11}$
بنه	۰/۸۱	$2/89 \times 10^{-10}$	$1/86 \times 10^{-10}$	$9/26 \times 10^{-11}$
	۲/۰۸	$3/24 \times 10^{-10}$	$2/06 \times 10^{-10}$	$1/11 \times 10^{-10}$
	۳/۳۵	$3/96 \times 10^{-10}$	$2/14 \times 10^{-10}$	$1/12 \times 10^{-10}$

پس از آن با گذشت زمان، آهنگ تبخیر بطور مدام کاهش می‌یابد. نتایج مشابهی برای محصولات مختلف کشاورزی در طول مرحله خشک شدن مشاهده شده است [۳۱-۳۲-۳۳-۳۴].

### ۳-۳- ضریب پخش رطوبت موثر

در روش بستریال با افزایش دما و سرعت هوا در فرآیند خشک شدن انار، انگور و بنه، ارتباط ضریب پخش رطوبت موثر، یک روند افزایشی بود که تاثیر دما در این امر بارزتر است. مقادیر ضریب پخش رطوبت موثر ( $D_{eff}$ ) برای انار، انگور و بنه، توسط معادله (۸) محاسبه شد و در جدول ۱ نشان داده شده است. مشاهده شد که این ضریب برای انار  $9/27 \times 10^{-11}$  تا  $10^{-10}$  متر مربع بر ثانیه، برای انگور  $7/77 \times 10^{-10}$  تا  $10^{-10}$  متر مربع بر ثانیه و برای بنه  $1/10 \times 10^{-9}$  تا  $1/257 \times 10^{-10}$  متر مربع بر ثانیه تغییر کرد. معمولاً مقادیر ضریب پخش رطوبت موثر در آزمایش‌ها برای محصولات کشاورزی و مواد غذایی در محدوده بین  $10^{-9}$  و  $10^{-11}$  متر مربع بر ثانیه می‌باشد که مقادیر به دست آمده برای

این است که آب آزاد محصول سریعتر تبخیر شد و زمان خشکشدن به طور قابل ملاحظه‌ای کاهش یافت و در اثر کاهش زمان خشکشدن، انرژی مصرفی به طور قابل ملاحظه‌ای کاهش یافت. روند مصرف انرژی در خشککن بسترسیال و در دمایا و سرعت‌های مختلف با توجه به جدول (۲)، با افزایش دما در سرعت ثابت هوا کاهش یافته و در دمای ثابت با افزایش سرعت هوا روندی افزایشی داشت. پژوهشگران دیگر نیز نتایج مشابهی را گزارش کردند [۳۶، ۳۷، ۳۸].

**جدول ۲** تاثیر درجه حرارت و سرعت هوا و رودی بر بر انرژی مصرفی ویژه در خشک کردن لایه نازک انار، انگور و بنه

نوع محصول	سرعت هوا و رودی (m/s)	۵۰°C	۶۰°C	۷۰°C
انار	۱/۵	۱۴۶۷/۲۹	۱۲۳۳/۳۸	۱۰۰۵/۲۹
	۲/۷۵	۱۱۹۰/۹۴	۸۸۵/۶۹	۶۹۹/۹۸
	۴/۳۱	۶۴۹/۳۲	۵۱۱/۲۳	۲۳۹/۶۵
انگور	۱/۸	۱۹۰۳/۹۷	۱۴۹۹	۱۴۲۸/۶۴
	۳/۱۲	۱۴۹۸/۹۱	۱۲۸۵	۱۱۴۳/۰۲
	۵/۶	۱۰۹۵/۱۲	۹۲۸/۴۴	۸۰۹/۳۳
بنه	۰/۸۱	۱۲۲۴/۱۹	۱۰۳۱/۶۵	۷۵۹/۷۰
	۲/۰۸	۵۵۷/۸۸	۵۱۰/۲۹	۳۶۴/۲۲
	۳/۳۵	۲۵۷/۲۲	۱۹۲/۱۴	۱۶۶/۹۰

برای پیش‌بینی پارامترهای خشکشدن دو راهبرد برای بررسی تاثیر توابع فعال سازی مختلف برای بهینه سازی شبکه‌های مورد استفاده به کار گرفته شد: یکی توابع فعال سازی یکسان برای لایه‌ها و دیگری توابع فعال سازی مختلف برای لایه‌ها. در شرایط توابع یکسان و مختلف برای پیش‌بینی ضریب پخش رطوبت موثر و انرژی مصرفی ویژه برای تمام لایه‌ها در شبکه CFBP و الگوریتم BR در اکثر موارد قادر به یادگیری نبودند (جدول ۳). در الگوریتم LM در هر دو شبکه FFBP و CFBP، تابع فعال سازی یکسان TANSIG پیش‌بینی بهتری نسبت به توابع فعال سازی مختلف برای پیش‌بینی ضریب پخش رطوبت موثر و انرژی مصرفی ویژه داشت. اما در الگوریتم BR، در شبکه FFBP، تابع فعال سازی مختلف برای پیش‌بینی ضریب پخش رطوبت موثر و انرژی مصرفی ویژه عملکرد بهتری نسبت به تابع فعال سازی یکسان داشت. در بین تابع‌های یکسان تابع TANSIG نسبت به LOGSIG و PURELIN نتایج بهتری را نشان داد. بر اساس MSE از آموزش و ارزیابی، نشان داد که شبکه با چهار لایه نسبت به شبکه با سه لایه عملکرد بهتری داشت.

### ۵-۳- شبکه‌های عصبی مصنوعی

شبکه‌های عصبی پس انتشار پیشرو و پس انتشار پیش‌خور با استفاده از ۵۰ الگو آموزش داده شدند. الگوریتم‌ها با استفاده از نگاشت غیر خطی بین پارامترهای ورودی (سرعت هوا و رودی، دمای هوا و رودی و زمان خشکشدن) و پارامترهای خروجی (ضریب پخش رطوبت موثر، انرژی مصرفی ویژه، نرخ خشکشدن و نسبت رطوبت) آموزش داده شدند. اعداد نمونه‌های پنهان در لایه‌های پنهان با استفاده از معناری ۲-۲-y-x و ۳-y-x-۲ مشخص شد.

برای دست‌یابی به ساختار بهینه شبکه‌های عصبی مصنوعی (ANN) برای پیش‌بینی ضریب پخش رطوبت موثر و انرژی مصرفی ویژه، شبکه‌هایی با آرایش‌های مختلف و تعداد نرون‌های متفاوت در لایه (های) میانی مورد ارزیابی قرار گرفتند. چندین آرایش از MSE کمتر و  $R^2$  بالاتری برخوردار بودند که در قالب دو ساختار پیش‌رو (CFBP) و پیش‌خور (FFBP) در جدول (۳) برای خشکشدن بسترسیال ارائه شده است.

### ۴-۴- انرژی مصرفی ویژه

انرژی مصرفی ویژه مورد نیاز با افزایش دما در سرعت ثابت کاهش یافت. همچنین با افزایش سرعت هوا در دمای ثابت میزان انرژی مصرفی ویژه مورد نیاز افزایش یافت. انرژی مصرفی تابع عوامل مختلفی مانند سرعت هوا و رودی، دمای محیط، گرمای نهان تبخیرآب، گرمای ویژه هوا و دمای هوا و رودی بود. اما تاثیر دمای هوا و رودی نسبت به سایر پارامترها بیشتر بود. علت کاهش مصرف انرژی در دمای بالا و سرعت‌های پایین‌تر نسبت به دمای‌های پایین و سرعت‌های بالا

جدول ۳ نتایج آرایش‌های مختلف شبکه عصبی مصنوعی (ANN) در برآورد تغییرات ضریب پخش رطوبت موثر و انرژی مصرفی

ویژه

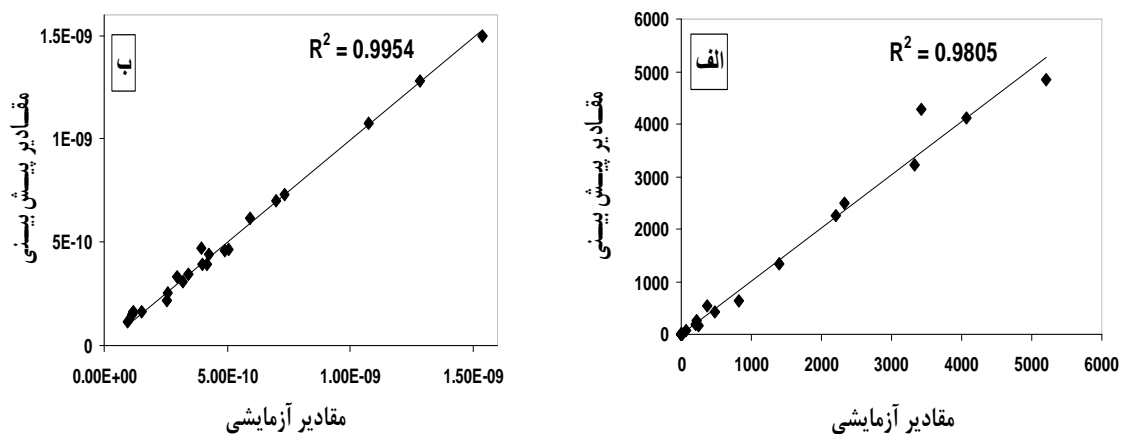
شبكه	توابع آموزش	توابع محرك	آرایش شبکه	MSE	MAE (Deff)	R <sup>2</sup> (Deff)	MAE (SEC)	R <sup>2</sup> (SEC)	چرخه آموزش
LM			۳-۵-۵-۲	۰/۰۰۰۹۰	۱/۲۹×۱۰ <sup>-۱۱</sup>	۰/۹۸۰۵	۷۷/۱۹	۰/۹۹۵۴	۴۴
TAN-TAN-TAN			۳-۴-۴-۲	۰/۰۰۰۹۸	۶/۸۴×۱۰ <sup>-۱۱</sup>	۰/۹۶۵۸	۱۰۴/۷۱	۰/۹۹۱۱	۳۷
PUR-TAN-TAN			۳-۸-۲	۰/۰۰۱۱۴	۹/۶۸×۱۰ <sup>-۱۱</sup>	۰/۹۵۳۸	۱۲۹/۳۶	۰/۹۸۴۹	۲۶
TAN-LOG-TAN	BR		۳-۸-۸-۲	۰/۰۰۱۱۴	۴/۷۷×۱۰ <sup>-۱۱</sup>	۰/۹۷۰۱	۹۶/۹۲	۰/۹۸۷۶	۱۸
TAN-PUR-LOG			۳-۱۰-۱۰-۲	۰/۰۰۰۶۸	۴/۲۲×۱۰ <sup>-۱۱</sup>	۰/۹۷۱۸	۹۴/۱۲	۰/۹۸۹۹	۴۶
TAN-LOG-PUR			۳-۵-۲	۰/۰۰۱۰۵	۸/۶۵×۱۰ <sup>-۱۱</sup>	۰/۹۵۹۸	۱۱۸/۳۹	۰/۹۸۵۸	۱۵
TAN-TAN-PUR	LM		۳-۶-۶-۲	۰/۰۰۰۳۵	۲/۷۸×۱۰ <sup>-۱۱</sup>	۰/۹۷۵۵	۸۵/۹۸	۰/۹۹۱۹	۳۱
TAN-TAN-TAN	CFB P		۳-۱۰-۱۰-۲	۰/۰۰۰۴۱	۲/۹۱×۱۰ <sup>-۱۱</sup>	۰/۹۷۴۹	۸۸/۳۱	۰/۹۹۰۹	۲۲
TAN-PUR-LOG			۳-۸-۸-۲	۰/۰۰۰۸۹	۵/۹۳×۱۰ <sup>-۱۱</sup>	۰/۹۶۹۶	۹۸/۸۸	۰/۹۹۰۱	۱۸
TAN-LOG-PUR									

آموزشی (۰/۰۰۰۵۶)، کمترین مقدار میانگین مربعات برای ضریب پخش رطوبت موثر ( $10^{-11}$ ) و انرژی مصرفی ویژه (۰/۹۸۰۵) و بیشترین مقدار ضریب تعیین برای ضریب پخش رطوبت موثر (۰/۹۷۱۸) و انرژی مصرفی ویژه (۰/۹۸۹۹) می‌باشد. الگوریتم BR در شبکه FFBP قادر به یادگیری نبود (جدول ۳).

شكل ۱۰ بیشترین مقدار ضریب تعیین برای پیش‌بینی ضریب پخش رطوبت موثر (الف) و انرژی مصرفی ویژه (ب) را نشان می‌دهد. همانطور که مشاهده می‌شود بیشترین مقدار ضریب تعیین برای پیش‌بینی ضریب پخش رطوبت موثر (۰/۹۸۰۵) و برای انرژی مصرفی ویژه (۰/۹۹۵۴) می‌باشد.

کاربرد الگوریتم LM به همراه شبکه‌های FFBP و CFBP نشان داد که توپولوژی ۳-۵-۵-۲ در شبکه FFBP با تابع فعال‌سازی TAN-TAN-TAN دارای کمترین خطای آموزش (۰/۰۰۰۹)، کمترین مقدار میانگین مربعات برای ضریب پخش رطوبت موثر ( $10^{-11}$ ) و انرژی مصرفی ویژه (۷۷/۱۹) و بیشترین مقدار ضریب تعیین برای ضریب پخش رطوبت موثر (۰/۹۸۰۵) و انرژی مصرفی ویژه (۰/۹۹۵۴) می‌باشد (جدول ۳).

همچنین کاربرد BR به همراه شبکه‌های FFBP و CFBP نشان می‌دهد که توپولوژی ۳-۱۰-۱۰-۲ در شبکه FFBP با تابع فعال‌سازی TAN-LOG-PUR دارای کمترین خطای



شکل ۱۰ ضریب تبدیل پیش‌بینی شده با روش شبکه عصبی مصنوعی در مقابل مقادیر واقعی برای (الف) انرژی مصروفی ویژه و (ب) ضریب پختن رطوبت موثر

TANSIG پیش‌بینی بهتری نسبت به تابع فعال‌سازی مختلف برای پیش‌بینی نسبت رطوبت و نرخ خشک کردن داشت (جدول ۴).

در شرایط توابع یکسان و مختلف برای پیش‌بینی نسبت رطوبت و نرخ خشک کردن، در الگوریتم BR برای تمام لایه‌ها در هر دو شبکه FFBP و CFBP، تابع فعال‌سازی یکسان

جدول ۴- نتایج آرایش‌های مختلف شبکه عصبی مصنوعی (ANN) در برآورد تغییرات نرخ خشک کردن و نسبت رطوبت انار، انگور و

بنه

شبکه	توابع آموزش	توابع محرك	آرایش شبکه	MSE	MAE (MR)	R <sup>2</sup> (MR)	چرخه آموزش	R <sup>2</sup> (DR)	MAE (DR)
LM	FFB P	<b>TAN-TAN-TAN</b>	۴-۲۰-۲۰-۲	۰/۰۰۰۰۰۴	۰/۰۰۱۸	۰/۹۹۹۶	۱۴۶	۰/۹۷۹۹	۰/۰۰۲۱
		<b>TAN-LOG-PUR</b>	۴-۲۰-۱۵-۲	۰/۰۰۰۶۶	۰/۰۰۴۸	۰/۹۶۷۹	۱۲۵	۰/۹۶۲۱	۰/۰۰۳۸
		<b>LOG-TAN-PUR</b>	۴-۱۰-۸-۲	۰/۰۰۰۱۸	۰/۰۰۰۸۹	۰/۹۹۳۱	۷۶	۰/۹۵۶۶	
BR		<b>TAN-TAN-TAN</b>	۴-۱۵-۱۰-۲	۰/۰۰۰۱۱	۰/۰۰۳۲	۰/۹۹۹۴	۲۵۶	۰/۹۷۷۸	۰/۰۰۲۶
		<b>TAN-PUR-TAN</b>	۴-۱۰-۱۰-۲	۰/۰۰۰۹۸	۰/۰۰۰۶۶	۰/۹۹۵۶	۱۳۴	۰/۹۵۹۸	۰/۰۰۶۱
		<b>TAN-PUR-LOG</b>	۴-۲۰-۱۵-۲	۰/۰۰۰۲۱۶	۰/۰۱۰۶	۰/۹۹۲۴	۱۸۲	۰/۹۵۴۵	۰/۰۰۹۲
LM	CFB P	<b>TAN-LOG-LOG</b>	۴-۱۰-۱۰-۲	۰/۰۰۰۰۶	۰/۰۰۲۲	۰/۹۹۹۵	۱۸۸	۰/۹۷۸۶	۰/۰۰۲۴
		<b>TAN-PUR-PUR</b>	۴-۵-۵-۲	۰/۰۰۰۲۸۶	۰/۰۱۲۴	۰/۹۹۱۴	۲۱۶	۰/۹۵۳۲	۰/۰۱۱۲
		<b>TAN-TAN-LOG</b>	۴-۱۵-۱۵-۲	۰/۰۰۰۴۴	۰/۰۰۳۶	۰/۹۹۷۵	۱۶۸	۰/۹۶۳۹	۰/۰۰۳۴
BR		<b>TAN-TAN-TAN</b>	۴-۲۰-۱۵-۲	۰/۰۰۰۰۹	۰/۰۰۲۵	۰/۹۹۹۵	۱۳۵	۰/۹۷۸۲	۰/۰۰۲۸
		<b>TAN-TAN-TAN</b>	۴-۸-۸-۲	۰/۰۰۰۱۶۵	۰/۰۰۸۸	۰/۹۹۳۶	۸۶	۰/۹۵۸۶	۰/۰۰۷۶
		<b>LOG-LOG-TAN</b>	۴-۲۰-۱۵-۲	۰/۰۰۰۴۲	۰/۰۰۳۵	۰/۹۹۷۸	۱۵۲	۰/۹۶۵۲	۰/۰۰۳۴

کاربرد الگوریتم LM به همراه شبکه‌های CFBP و FFBP نشان داد که توبولوژی  $4-20-20-2$  در شبکه FFBP با تابع فعال‌سازی TAN-TAN-TAN دارای کمترین خطای آموزشی ( $0/00004$ )، کمترین مقدار میانگین مربعات برای نسبت رطوبت ( $0/0018$ ) و نرخ خشک کردن ( $0/0021$ ) و

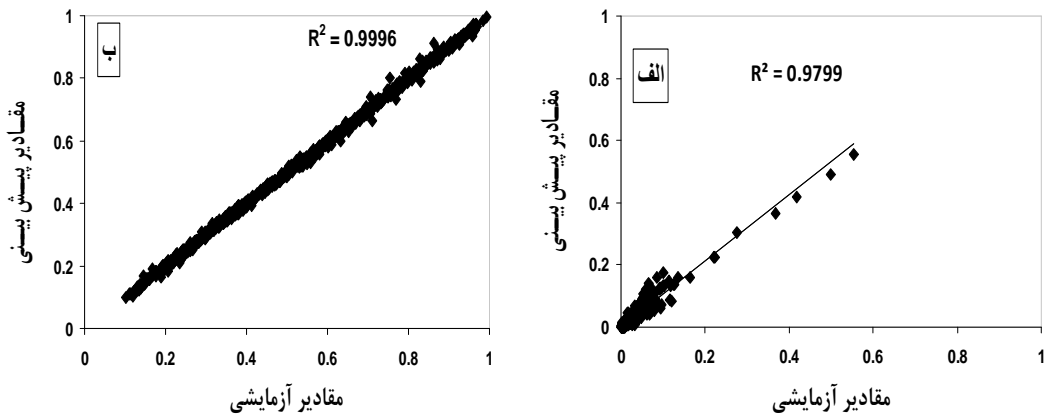
در الگوریتم LM و شبکه FFBP، تابع فعال‌سازی یکسان TANSIG پیش‌بینی بهتری نسبت به تابع فعال‌سازی مختلف برای پیش‌بینی نسبت رطوبت و نرخ خشک کردن داشت. اما الگوریتم LM در شبکه FFBP با تابع فعال‌سازی FFBP مختلف نسبت به تابع یکسان عملکرد بهتری داشت.

(۰/۰۰۲۸) و بیشترین مقدار ضریب تعیین برای نسبت رطوبت (۰/۹۹۹۵) و نرخ خشک کردن (۰/۹۷۸۲) بود (جدول ۴).

شکل ۱۱ بیشترین مقدار ضریب تعیین برای پیش‌بینی (الف) نسبت رطوبت و (ب) نرخ خشک کردن نشان می‌دهد. بیشترین مقدار ضریب تعیین برای پیش‌بینی نسبت رطوبت (۰/۹۷۹۹) و برای نرخ خشک کردن (۰/۹۹۹۶) به دست آمد.

بیشترین مقدار ضریب تعیین برای نسبت رطوبت (۰/۹۹۹۶) و نرخ خشک کردن (۰/۹۷۹۹) بود (جدول ۴).

همچنین کاربرد الگوریتم BR به همراه شبکه‌های CFBP و FFBP نشان می‌دهد که توالی ۲-۱۵-۴ در شبکه FFBP با تابع فعال‌سازی TAN-TAN-TAN کمترین خطای آموزشی (۰/۰۰۰۹۰)، کمترین مقدار میانگین مربعات برای نسبت رطوبت (۰/۰۰۲۵) و نرخ خشک کردن



شکل ۱۱ ضریب تبدیل پیش‌بینی شده با روش شبکه عصبی مصنوعی در مقابل مقادیر واقعی برای (الف) نرخ خشک کردن و (ب) نسبت رطوبت

آمد. همچنین بیشترین مقدار ضریب تعیین برای پیش‌بینی نسبت رطوبت (۰/۹۹۹۶) و برای نرخ خشک کردن (۰/۹۷۹۹) بود.

#### ۴- نتیجه گیری

رفتار خشک شدن انگور، انار و بنه به صورت لایه نازک در خشک کن بسترسیال که سرعت هوا در خشک کردن انار، ۱/۵، ۲/۷۹ و ۴/۳۱ متر بر ثانیه، در خشک کردن انگور مقادیر ۱/۸، ۳/۱۲ و ۵/۶ متر بر ثانیه و در خشک کردن بنه، ۰/۸۱، ۰/۰۸ و ۳/۳۵ متر بر ثانیه و سه دمای (۵۰، ۶۰ و ۷۰ °C) بررسی شد. نتایج نشان داد با کاهش دمای هوا، زمان خشک شدن انگور، انار و بنه افزایش می‌یابد. کمترین زمان خشک شدن مربوط به دمای ۷۰ °C بود. ضریب نفوذ رطوبت موثر در خشک کن بسترسیال برای انار  $9/27 \times 10^{-11}$  تا  $7/5 \times 10^{-10}$  متر مربع بر ثانیه، برای انگور  $7/77 \times 10^{-11}$  تا  $2/62 \times 10^{-10}$  متر مربع بر ثانیه و برای بنه  $1/10 \times 10^{-10}$  تا  $1/257 \times 10^{-9}$  متر مربع بر ثانیه به دست آمد. بیشترین مقدار انرژی مصرفی ویژه برای انار، انگور و بنه به ترتیب  $1467/29$ ،  $1903/97$  و  $1224/19$  مگاژول بر کیلوگرم به دست آمد. برای پیش‌بینی ضریب نفوذ رطوبت موثر و انرژی مصرفی ویژه، شبکه FFBP با تابع آموزش LM و تابع محرك TAN-TAN-TAN به دست

#### ۵- منابع

- [1] Khoshnam, F., Tabatabaeefar, A., Varnamkhasti, M.G. and Borghei A. (2007). Mass modeling of pomegranate (*Punica granatum L.*) fruit with some physical characteristics. *Scientia Horticulturae*, 114: 21-26.
- [2] Mansouri, Y.S., Khazaei, J., Hassan Beygi, S.R., and Mohtasebi, S.S. (2010). Statistical modeling of pomegranate (*Punica granatum L.*) fruit with some physical attributes. *Journal of Food Processing Technology*. 1: 1-4.
- [3] Amiri Chayjan, R., Peyman, M.H., Esna-Ashari, M. and Salari, K. 2011. Influence of drying conditions on diffusivity, energy and color of seedless grape after dipping process. *Australian Journal Crop Science*. 5, 96-103.
- [4] Kaveh, M. and Amiri Chayjan, R. (2014). Modeling drying characteristics of terebinth fruit under infrared fluidized bed condition.

- with a neural network". *Computers and Electronics in Agriculture*. 29: 99–113.
- [15] Kia, M. (2010). Neural network design. Compilation Hagan, M. T., Demuth, H. B., Beale, M. Publishers Kian green computer. 584 page. (In persian)
- [16] Mohebbi, M., Shahidi, F., Fathi, M., Ehtiati, A. and Noshad, M. (2011) . Prediction of moisture content in pre-osmosed and ultrasounded dried banana using genetic algorithm and neural network". *Food and Bioproducts Processing*. 89: 362–366.
- [17] Amiri Chayjan, R. Salari, K. and Barikloo. H. (2012). Modelling moisture diffusivity of pomegranate seed cultivars under fixed, semi fluidized and fluidized bed using mathematical and neural network method. *Acta Scinatiarum, Polnourom., Technology. Alimentaria*. 11(2): 137-149.
- [18] Movagharnejad, K. and Nikzad, M. (2007). Modelling of tomato drying using artificial neural network. *Computers and Electronic in Agriculture*. 59:78–85.
- [19] Motevali1, A. Younji, S., Amiri Chayjan, R., Aghilinategh N. and Banakar. A. (2013). Drying kinetics of dill leaves in a convective dryer. *International Agrophysic*. 27, 39-47.
- [20] Singh, N. J. and Pandey. R. K. (2011). Neural network approaches for prediction of drying kinetics during drying of sweet potato. *Agricultural Engineering International: CIGR Journal*. 13 (1): 1-7.
- [21] Menlik, T., Ozdemir, M. B. and Kirmaci, V. (2010). Determination of freeze-drying behaviors of apples by artificial neural network. *Expert Systems with Applications*. 37: 7669–7677.
- [22] Doymaz, I. (2011). Drying of thyme (*thymus vulgaris L.*) and selection of a suitable thin- layer drying model. *Journal of Food Processing and Preservation*. 35: 458–465
- [23] Odjo, S., Malumba, P., Dossou, J., Janas, S. and Béra, F. (2012). Influence of drying and hydrothermal treatment of corn on the denaturation of salt-soluble proteins and color parameters. *Journal of Food Engineering*. 109: 561–570.
- [24] Amiri Chayjan, R., Kaveh, M. and Khayati S. (2014). Modeling some drying characteristics of sour cherry (*Prunus cerasus L.*) under infrared radiation using mathematical models and artificial neural networks. *Agricultural Engineering International: CIGR Journal*. 16 (1): 265- 279.
- Cercetări Agronomice în Moldova. 4 (160): 5-21.
- [5] Aghbashlo, M., Kianmehr, M. H. and Hassan-Beygi, S. R. (2009). Drying and rehydration characteristics of sour cherry (*Prunus cerasus L.*). *Journal of Food Processing and Preservation*. 10: 1-15.
- [6] Arumuganathan, T., Manikantan, M.R., Rai, R. D., Anandakumar, S. and Khare, V. (2009). Mathematical modeling of drying kinetics of milky mushroom in a fluidized bed dryer. *International Agrophysics*. 23: 1-7.
- [7] Cakmak, G. and Yıldız, C. (2011). The drying kinetics of seeded grape in solar dryer with PCM-based solar integrated collector. *Food and bioproducts processing*. 89: 103–108.
- [8] Stummer, S., Toegel, S., Rabenreither, M., Unger, F. M., Wirth, M., Viernstein, H. and Salar-Behzadi, S. 2012. Fluidized-bed drying as a feasible method for dehydration of *Enterococcus faecium* M74. *Journal of Food Engineering*, 111: 156–165
- [9] Hashemi, G., Mowla, D. and Kazemini, M. 2009. Moisture diffusivity and shrinkage of broad beans during bulk drying in an inert medium fluidized bed dryer assisted by dielectric heating. *Journal of Food Engineering*. 92: 331–338
- [10] Markowski, M., Białobrzewski, I. and Modrzejewska, A. (2010). Kinetics of spouted-bed drying of barley: Diffusivities for sphere and ellipsoid. *Journal of Food Engineering*. 96: 380–387
- [11] Gazor H.R. and Mohsenimanesh, A. (2010). Modelling the Drying Kinetics of Canola in Fluidized Bed Dryer. *Czech Journal of Food Sciences*. 28, (6): 531–537.
- [12] Perea-Flores, M. J., Garibay-Febles, V., Chanona-Pérez, J. J., Calderón-Domínguez, G., Méndez-Méndez J. V., Palacios-González E. and Gutiérrez-López, G. F. 2012. Mathematical modelling of castor oil seeds (*Ricinus communis*) drying kinetics in fluidized bed at high temperatures. *Industrial Crops and Products*. 38: 64– 71
- [13] Abbasi Souraki, B. and Mowla D. (2008). Axial and radial moisture diffusivity in cylindrical fresh green beans in a fluidized bed dryer with energy carrier: Modeling with and without shrinkage. *Journal of Food Engineering*. 88: 9–19.
- [14] Farkas, I., Remenyi, P. and Biro, A. (2000). Modeling aspects of grain drying

- sweet potato cube (*Ipomoea batatas* L.). *Food and Bioproducts Processing.* 90: 317–322.
- [33] Ruiz Celma, A., Cuadros, F. and López-Rodríguez, F. (2012). Convective drying characteristics of sludge from treatment plants in tomato processing industries. *Food and Bioproducts Processing.* 90: 224–234.
- [34] Zielinska, M., and Cenkowski, S. (2012). Superheated steam drying characteristic and moisture diffusivity of distillers' wet grains and condensed distillers' solubles. *Journal of Food Engineering.* 109: 627–634
- [35] Arsalan, D. and Ozcan, M.M. (2011). Study the effect of sun, oven and microwave drying on quality of onion slices. *LWT – Food Science and Technology.* 43, 1121–1127.
- [36] Koyuncu, T., Pinar, Y. and Lule, F. 2007. Convective drying characteristics of azarole red (*Crataegus monogyna* Jacq.) and yellow (*Crataegus aronia* Bosc.) fruits. *Journal of Food Engineering.* 78(4): 1471- 1475.
- [37] Aghbashlo, M., M. Kianmehr, H. and Samimi Akhijahani. H. (2008). Influence of drying conditions on the effective moisture diffusivity, energy of activation and energy consumption during the thin-layer drying of beriberi fruit (Berberidaceae). *Energy Conversion and Management,* 49(10): 2865–2871.
- [38] Kaveh, M. and Amiri Chayjan, R. (2016). Modeling thin-layer drying of turnip slices under semi-industrial continuous band dryer. *Journal of Food Processing and Preservation.* Doi:10.1111/jfpp.12778.
- [25] Demuth, H., Beale, M. and Hagan, M. (2007). *Neural network toolbox 5.* The MathWorks, Natick, MA, USA.
- [26] Kocabas, F., Korkmaz, M., Sorgucu, U. and Donmez, S. (2010) Modeling of heating and cooling performance of counter flow type vortex tube by using artificial neural network. *International Journal of Refrigeration.* 33: 963–972.
- [27] Shi, J., Pan, Z., McHugh, T.H., Wood, D., Hirschberg, E. and Olson, D. (2008). Drying and quality characteristics of fresh and sugar-infused blueberries dries with infrared radiation heating LWT- Food Science and Technology. 41: 1962–1972.
- [28] Basavaraj, M., Prabhu Kumar, G.P. and Sathyaranayana, R.B. (2008). Determination of drying rate and moisture ratio of fig fruit (*Ficus carica* L.) by thinlayer hot air drying method. *Journal of Food Science and Technology.* 45: 94–96.
- [29] Sobukola, O.P., Dairo, O.U. and Odunewu, A.V. (2008). Convective hot air drying of blanched yam slices. *International Journal of Food Science and Technology.* 43: 1233–1238.
- [30] Falade, K.O. and Solademi, O.J. (2010). Modeling of air drying of fresh and blanched sweet potato slices. *International Journal of Food Science and Technology.* 45: 278–288.
- [31] Thuwapanichayanan, R., Prachayawarakorn, S., Kunwisawa, J. and Soponronnarit, S. (2011) Determination of effective moisture diffusivity and assessment of quality attributes of banana slices during drying. *LWT - Food Science and Technology.* 44: 1502-1510.
- [32] Singh, N. J. and Pandy, R. K. (2012). Convective air drying characteristics of

## Prediction of pomegranate, grape and terebinth drying properties using artificial neural network approach

Kaveh, M. <sup>1\*</sup>, Amiri-Chayjan, A. <sup>2</sup>

1. Young Researchers and Elite Club, Sardasht Branch, Islamic Azad University, Sardasht, Iran
2. Department of Biosystems Engineering, Faculty of Agriculture, Bu-Ali Sina University, Hamedan, Iran

(Received: 94/8/18 Accepted: 95/6/17)

The objective of this research was the predication of effective moisture diffusivity, energy consumption, drying rate and moisture ratio in fluidized bed dryer of pomegranate, grape and terebinth by using artificial neural network approach. The effective factor to predict the effective moisture diffusivity and specific energy consumption were: product type, air velocity and air temperature. Four factors were used to predict the drying rate and moisture ratio as: Product type, air velocity, air temperature and time. A lot of 27 tests were conducted by a laboratory fluidized bed dryer to created training set for effective moisture diffusivity and specific energy consumption and 2165 tests for drying rate and moisture ratio. Several network and algorithms were used to train and evaluate the patterns. The best neural network feed forward back-propagation topology for the prediction of effective moisture diffusivity and energy consumption were 3-5-5-2 with the training algorithm of Levenberg-Marquardt (LM). This structure is capable to predict effective moisture diffusivity and specific energy consumption With  $R^2=0.9954$  and  $0.9805$ , respectively and mean-square error of  $0.00009$ . Also the highest  $R^2$  values to predict the drying rate and moisture ratio were  $0.9799$  and  $0.9996$  respectively.

**Keyword:** Drying, Fluidized bed dryers, Effective moisture diffusivity, Drying rate, Artificial neural network

---

\*Corresponding Author E-Mail Address: sirwankaweh@gmail.com